

45# 钢的 NiCrBSi 激光涂复

徐 春

(上海冶金高等专科学校, 上海 200233)

罗源英 邹至荣

(重庆大学, 重庆 630044)

摘要 应用 2 kW-CO₂ 激光器在 45# 钢板上进行 NiCrBSi 合金的激光涂复处理。使用透射电镜和 X 射线衍射进行分析的结果表明整个激光区的相组成是相同的, 而在熔化区与基体交界的过渡层的相组成则与熔化区的有所不同。

关键词 激光涂复, Ni 基合金

1 试验条件

选用市售 Ni-02 合金粉末作喷涂材料, 其化学成分见表 1, 基体材料为 45# 钢板, 试样尺寸为 70×70×5 (mm), 用氧乙炔火焰喷枪将粉末均匀地喷涂到试样上, 厚度约为 0.5 mm。

表 1 Ni-02 合金粉末的化学成分

Table 1 Chemical composition of Ni-alloy powders

chemical composition	Fe	Cr	B	Si	C	Ni
wt-%	1.5	16	3.5	4.5	0.8	balance

用 2 kW 连续可调横流式激光器进行熔敷处理, 光束直径为 2 mm, 激光功率为 1 kW, 光束移动速度为 2 mm/s, 在空气中进行。

2 激光涂复区域的显微结构

2.1 激光涂复区的组织形貌

图 1 为激光涂复区的横断面形貌, 图 2 为其放大后的形貌, 由熔化区、熔化区与基体的交界过渡层和基体三部分构成, 熔化区内生成了细小的铸态树枝晶, 而过渡层则为一条白色光亮带组织, 基体的热影响区为淬火马氏体组织。

2.2 激光涂复区的元素分布

采用电子探针对激光熔化区进行线扫描分析, 见图 3。可以看出: Ni 基合金的激光涂复中, 其组成元素 Ni, Cr 在整个熔化区内的分布较为均匀, 而在过渡层附近迅速下降, 且几乎没有进入基材的热影响区, 故认为激光熔化区的组织成分均匀, 偏析较少。表 2 为电子探针测定的熔化区的化学成分。



图 1 激光涂复区的横断面形貌

Fig. 1 Cross-section of the laser cladding region

表 2 激光涂复的熔化区的化学成分

Table 2 Chemical composition of the fusing region
of laser cladding

chemical composition	Fe	Cr	Si	Ni
wt-%	29.82	15.62	3.72	50.86



图 2 放大后的形貌图

(a) 熔化区; (b) 过渡层; (c) 基体的热影响区

Fig. 2 Amplified cross-section of the laser cladding region

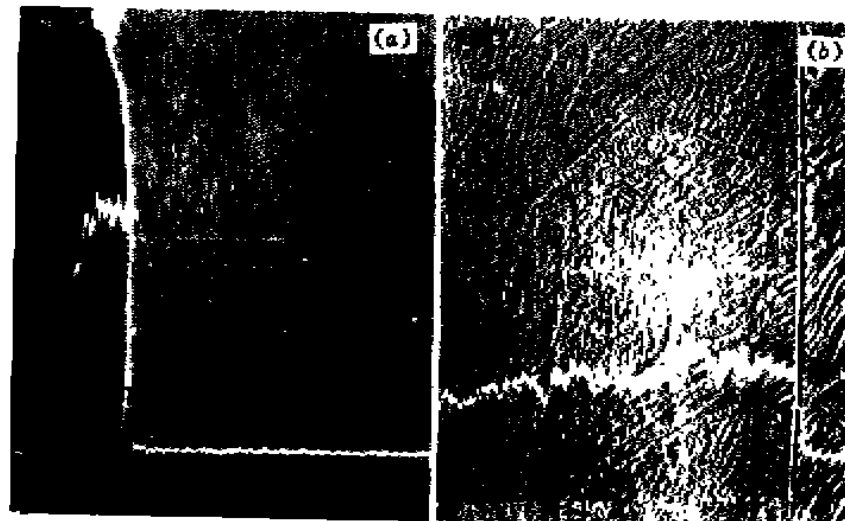
(A) the fusing region; (B) the transition layer;
(C) the heat affected zone of the substrate

图 3 激光涂复熔化区的扫描电镜形貌

(a) Ni 的成分线分布; (b) Cr 的成分线分布

Fig. 3 SEM micrographs of the laser cladding layer of Ni-alloy

(a) line composition distribution of Ni; (b) line composition distribution of Cr

与表 1 相比,熔化区的铁含量由原来的 Ni 基合金中的 15 wt-%上升到 29.82 wt-%,而 Ni, Cr, Si 的含量有所下降,即是说基体中的铁扩散到了熔化区内,引起了熔化区其它元素的重量百分比的下降,即“稀释”了 Ni 基合金粉末的涂层^[1]。

2.3 激光涂复区的相分布

为了分析整个激光熔化区域相组成的变化,采用 X 射线衍射图谱对激光熔化区沿熔化厚度方向上逐层进行分析,共在 0.5 mm 涂层的厚度上进行了八次 X 射线的衍射分析,其衍射

的位置分别为沿涂层向基体方向的厚度坐标为 0.1, 0.2, 0.3, 0.4, 0.45, 0.47, 0.49, 0.5 (mm) 等八个距离位置。衍射结果是前六次的 X 射线衍射图谱吻合得很好。如图 4(a) 为前六次的 X 射线衍射图谱。经鉴定分析, 其主要相为 γ -Ni, Ni_3B , $(NiFe)_3BC$, CrB 和 α -Fe。根据前六次的 X 射线衍射图谱吻合得很好的这个特点, 利用 X 射线衍射强度理论^[2]来分析, 可以定性地说明: 在 0.47 mm 厚度范围内, 熔化区的相结构组成与数量基本上相同, 在 0.49 mm 厚度处的位置上进行第七次 X 射线的衍射, 这时其能谱线开始变化, 出现了新峰值, 如图 4(b), 经

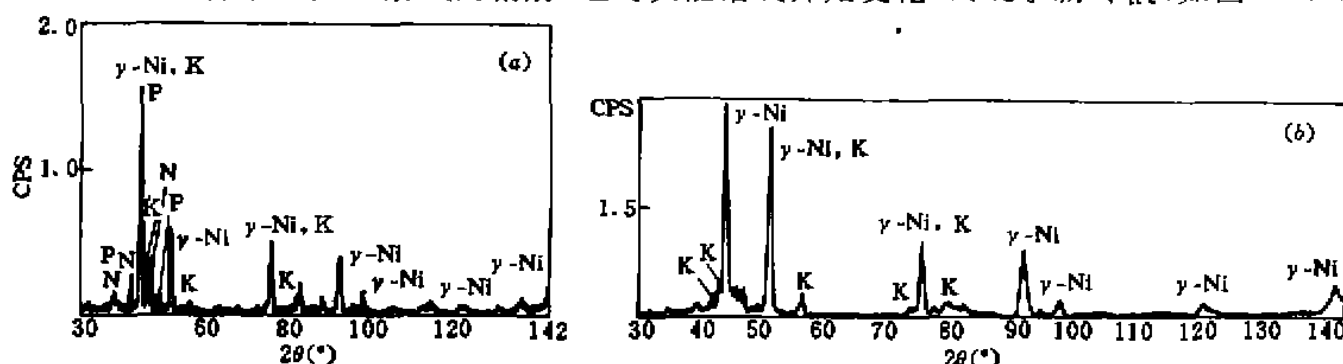


图 4 (a) 前六次的 X 射线衍射图谱; (b) 第七次的 X 射线衍射图谱

Fig. 4 (a) X-ray diffraction spectrum of the first six measurements (K: CrB; P: $(NiFe)_3BC$; N: Ni_3B)
(b) X-ray diffraction spectrum of the 7th measurement (K: CrB)

鉴定分析, 其主要相为 γ -Ni, CrB 和 α -Fe, 从 0.49 mm 的这个厚度位置处来看, 它显然介于熔化区与基体交界的过渡层附近, 峰值强度的变化可以定性地说明在整个激光熔化区上, γ -Ni 的数量基本相同, 靠近过渡层时开始减少, 故从衍射最强相降为次强相; 而 α -Fe 的情况则正好相反, 其在熔化区内的数量很少, 而靠近过渡层附近, 数量急剧增多, 并逐渐替代为衍射峰值最强的相。另外, Ni_3B 和 $(NiFe)_3BC$ 存在于熔化区内, 靠近过渡层开始急剧减小并消失。这个结果同前面的化学成分的分析相呼应。由于靠近过渡层的 Ni, Cr 元素的含量的急剧下降, 使得其金属化合物数量减少或消失, 而金属化合物数量的减少势必会影响其硬度, 从而使过渡层的硬度降低。图 5 为 γ -Ni, Ni_3B 和 $(NiFe)_3BC$ 在熔化区的变化示意图。

从透射电镜下观察熔化区的组织面貌, 发现其存在大量的黑色条状组织和一些块状组织(图 6)。在这些黑色条状组织内经能谱测定含 Cr 量高达 20.928 wt-%, 含 Ni 量则为 12.153 wt-%, 远低于整个熔化区内的 Ni 的平均含量的 50.56 wt-%, 而在黑色条状组织外则含 Cr 量

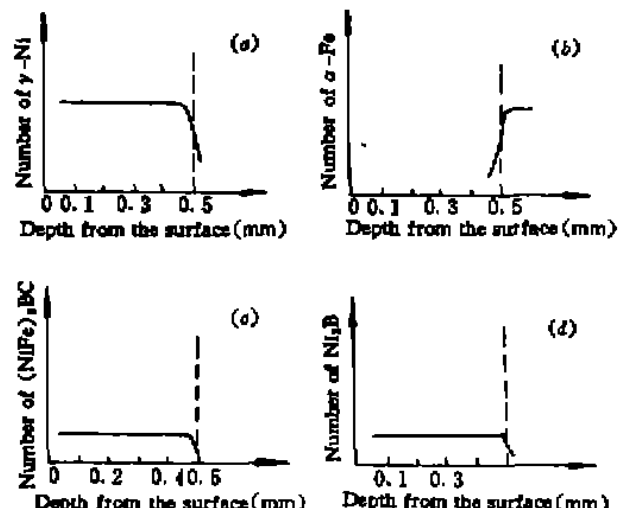


图 5 相变化分布示意图, 在激光涂复区 γ -Ni, Ni_3B 和 $(NiFe)_3BC$ 含量随深度的变化

Fig. 5 The curves show the variation of quantities of γ -Ni, Ni_3B and $(NiFe)_3BC$ with depth from the surface in the laser cladding region

仅为 3.530 wt-%, 图 7 为黑色条状组织的衍射花样, 经标定表明为 γ -Ni 和 Cr_{23}C_6 。图 8 为黑色条状组织放大倍数视场下的组织形貌, 发现在这些黑色条状组织内存在着大量的层错现象, 而层错现象的出现对提高材料的强度是极为有益的^[3,4]。图 9 为熔化区内块状组织的电子衍射花样, 经标定为 CrB , Ni_3B 和 $(\text{NiFe})_3\text{BC}$ 。



图 6 激光涂复熔区透射电镜形貌

Fig. 6 TEM image of the laser cladding fusing region

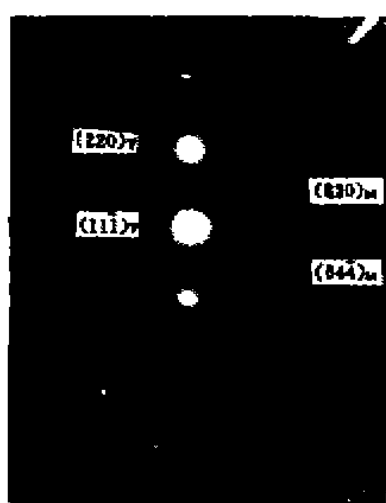


图 7 黑色条状组织衍射花样

Fig. 7 Black stripe area diffraction pattern (γ : γ -Ni; M: Cr_{23}C_6)

图 8 黑色条状组织的透射电镜下的组织形貌

Fig. 8 TEM image of the black strip

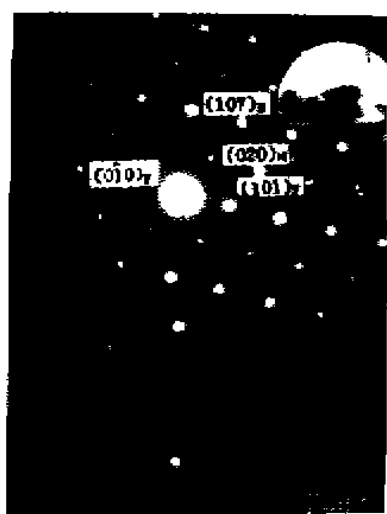


图 9 块状组织的衍射花样

Fig. 9 Block area diffraction pattern (N_i ; Ni_3B ; F: $(\text{NiFe})_3\text{BC}$; K: CrB)

图 10 激光涂复过渡层的明场像

Fig. 10 Bright field of the laser cladding transition layer

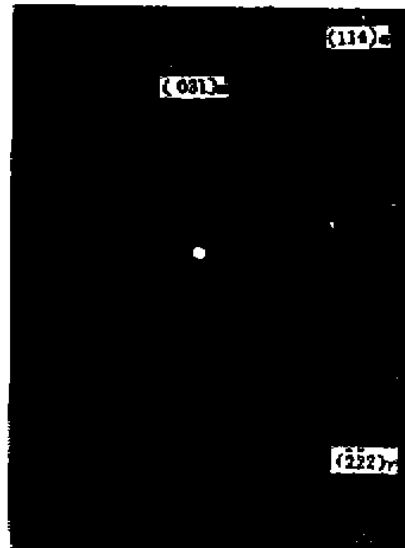


图 11 过渡层的衍射花样

Fig. 11 The transition layer diffraction pattern (γ : γ -Ni; α : α -Fe)

透射电镜与 X 射线衍射的结果证明了激光熔化区是以含硅的镍基奥氏体与 CrB 形成共晶体, 上面弥散分布了具有复合结构的 Fe_3C 型的合金渗碳体 $(\text{NiFe})_3\text{BC}$, 间隙化合物 Cr_{23}C_6 以及金属化合物 Ni_3B 等硬质相, 由于这些硬质相的本身硬度可高达 Hv950~1050, 故它们的存在会提高涂层的硬度和抗磨蚀的性能。

图 10 为过渡层明场像, 图 11 为其电子衍射花样, 经标定为 α -Fe 和 γ -Ni, 透射电镜与 X 射线衍射的结果表明熔化区与基体交界的过渡层的相组成为 α -Fe 和 γ -Ni 共存, CrB 弥散分布

在这两者之中。同熔化区相比,少了 Cr_2C_6 和 $(\text{NiFe})_3\text{BC}$ 等硬质相,因此其硬度会相应地下降。

3 激光涂复区的显微硬度分布

图 12 为经激光熔敷处理后的涂层表面到基体方向的显微硬度分布。其硬度分布呈三阶梯形式变化,最高为激光涂层的显微硬度,中间为激光热影响区,最低一层为基材组织。由于熔化区内存在大量的间隙化合物 Cr_2C_6 和合金渗碳体 $(\text{NiFe})_3\text{BC}$ 等硬质相,同时还存在大量的层错,故对提高激光熔化区的硬度有很大的帮助。随着 Cr 和 B 的浓度降低,过渡层内 Cr_2C_6 和 $(\text{NiFe})_3\text{BC}$ 等硬质相的消失,其硬度也会逐渐下降。

4 结 论

- 4.1 根据上述化学成分的分布、相分布以及涂复区的硬度分布等特点可以说明经激光熔敷处理后,涂层与基体形成了良好的冶金结合。
- 4.2 根据 X 射线对涂层逐次衍射的结果鉴定分析,定性地证实了在整个激光熔化区内的相组成和数量基本相同;过渡层的相组成与熔化区的相组成有所不同。
- 4.3 根据透射电镜的分析结果证明,熔化区内存在大量的黑色条状组织,并有层错现象。
- 4.4 由于熔化区内存在合金渗碳体等硬质相和层错现象,故使得熔化区内的硬度高达 $\text{Hv}1200$ 以上。

参 考 文 献

- 1 苏宝娟,黄德群. 20 号钢表面激光熔敷层的电子显微分析. 中国激光, 1987, 14(7): 431~435
- 2 吴远新,王昆林. 不锈钢表面镍铬激光熔敷组织与耐磨性能的研究. 中国激光, 1994, A21(7): 603~608
- 3 阎毓禾,钟敏霖. 高功率激光加工及应用. 天津: 天津科学技术出版社, 1994, 148~152
- 4 杨洗陈,阎毓禾,汪行恺等. FeCrBSi 合金的激光熔敷. 中国激光, 1987, 14(9): 548~552

Laser Cladding of NiCrBSi Alloy on the 45 Steel

Xu Chun

(Shanghai Technical College of Metallurgy, Shanghai 200233)

Lou Yuanying Zou Ziyong

(Chongqing University, Chongqing 630044)

Abstract Laser cladding of NiCrBSi alloy coating on the 45 steel has been performed with a 2 kW CO_2 laser. The result shows that with TEM and X-ray diffraction the phases are similar in the whole fusing region of the laser cladding. But in the transition layer the phases are different from those of the fusing region.

Key words laser cladding, Ni-base alloy.

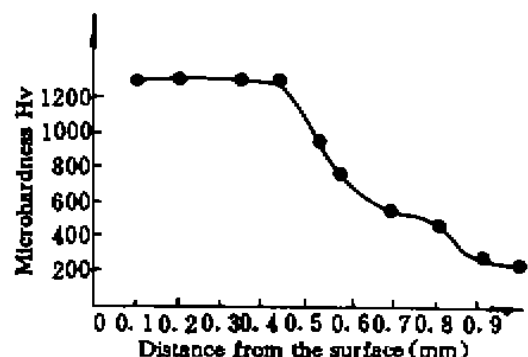


图 12 Ni-02 合金激光涂复区的显微硬度分布

Fig. 12 Distribution of microhardness in the Ni-alloy coating